

來日의 에너지—水素— —技術開發 現況과 問題(Ⅱ)—

尹 景 錫

韓國科學技術研究所

Energy of Tomorrow—Hydrogen—(II)

Kyung-Suk Yun

Korea Institute of Science and Technology,

Seoul 132, Korea

4-2. 热化學法

물의 勉分解反應은 吸勉反應이어서 當溫當壓

에서 $\Delta H = 68.3 \text{Kcal/g\cdot mol}$, $\Delta G = 56.7 \text{Kcal/g\cdot mol}$, $T\Delta S = -11.6 \text{Kcal/g\cdot mol}$ 의 값을 갖는다. ΔG 가 음의 값을 나타내기 시작하는 것은

Table 4. Nuclear reactor coolant temperatures²⁸⁾

Reactor Type	Coolant	Reactor Core Coolant Exit Temperature, °C
BWR (boiling water reactor, 1957 technology, Vallecitos)	Water	250~325
PWR (pressurized water reactors, 1957 technology, Shippingport, submarines)	Water	275~350
LIGR (low temperature, gas cooled reactor, 1963 technology, Windscale, Great Britain)	Carbon dioxide	350~575
BWR/SH (boiling water reactor with superheat, current technology)	Water	450~575
LMFBR (liquid metal, fast breeder reactor: experimental)	Liquid sodium	450~625
GCFBR (gas cooled, fast breeder reactor: experimental)	Helium	500~700
HTGR (high temperature, gas cooled reactor: 1967 technology, Peach Bottom)	Helium	780~900
HTGR-Otto (same as above with Otto fueling scheme, experimental, Germany)	Helium	900~1,000
UHTGR (same as above, 1969 experiments, LASL)	Helium	1,000~1,300
Rover (nuclear rocket power plant, 1970 to 1972, LASL or Aerojet Westinghouse NERVA Project)	Hydrogen	2,000~2,500

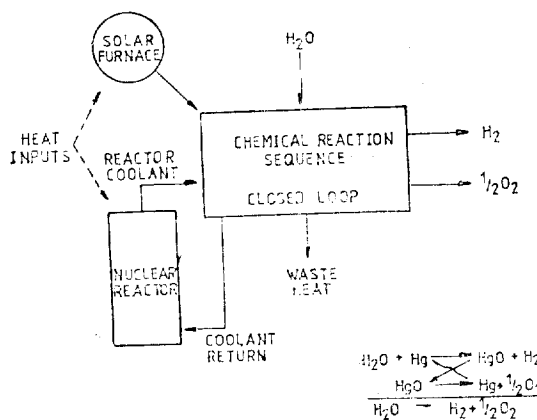


Fig. 13. Thermochemical hydrogen production⁶⁰⁾

$T = 4,700^{\circ}\text{K}$ 에서부터이며 $T = 20,000^{\circ}\text{C}$ 에서는 겨우 1%의 水素가 물分子와 平衡狀態에 있게 된다. 따라서 물을 직접 热分解한다는 것은 장치의 材質 뿐 아니라 热源에 있어서도 不可態함을 알 수 있다.

現在 热化學反應에 利用된 热源으로 考慮되고 있는 것은 Fig. 13에 도식적으로 표시된 바와 같이 太陽炉와 原子炉인데 前者는 clean energy라는 장점은 있으나 기후와 지리적 조건 등 技術的利用에는 아직 여러 가지 저해요인이 있어서 原子炉의 利用이 가장 可能視되고 있다.

Table 4에 제시된 바와 같이 現在 技術的으로 利用可能한 것은 HTGR로서 gas coolant의 온도가 900°C 미만이다.^{27,28)} 이와 같이 비교적 낮은 温度의 热源을 利用하기 위해서는 물 분해 반응을 여러 단계의 化學反應으로 나누어 反應 温度를 낮추어야 하며 이 反應에 참여하는 물 이외의 物質은 消耗됨이 없이 再使用되는 소위 closed cycle system의 開發이 要求된다.

이러한 热化學反應 周期의 樣式은 反應媒介體인 物質(XY)에 따라 多樣하지만 그 基本的反應주기는一般的으로 다음과 같이 分類할 수 있다.

1. 加水分解 反應 $\text{H}_2\text{O} + XY \rightarrow \text{H}_2\text{Y} + \text{XO}$
2. 水水發生 反應 $\text{H}_2\text{Y} + \text{Y}' \rightarrow \text{YY}' + \text{H}_2$
3. 酸素發生 反應 $\text{XO} + \text{X}' \rightarrow \text{XX}' + \frac{1}{2}\text{O}_2$

4. 再生反應 $\text{XX}' + \text{YY}' \rightarrow \text{XY} + \text{X}' + \text{Y}'$

以上과 같이 일반적으로 四段階로 分類되지만 경우에 따라서는 三段階도 될 수 있고 또는 五段階가 넘는 反應周期도 있다. 热化學反應의 基本的研究方向은 먼저 化學反應의 段階를 줄이고 反應 温度를 낮추는데 있지만 그외에 carnot cycle과 흡사한 热損失를 줄이기 위해 각 段階의 反應 温度가 비슷하던가 아니면 下向式의 周期가 바람직하며 값싼 媒介物質 및 完全回收, 腐蝕性이 높은 中間物質 抑制, 热效率의 上昇등을 들 수 있다.

지금까지 제시된 反應周期는 40여 종이 넘지만 大部分 開發初期에 있으며 이것을 다시 分類하면 Halide Processes, Reverse Deacon Process, Metal Processes 等 三種으로 大別할 수 있다.

(1) Halide Processes^{29~31)}

이 方法은 그 反應周期가 할로겐 化合物에 근거를 두며 그 開發研究는 주로 이태리 Ispra의 Euratone에서 진행 중이다. 그중 9가지의 Cycle을 Table 5에 수록하였다.

이중에서 가장 主意를 모은 周期는 Mark 1로서 最高反應 温度가 730°C 에서 HTGR의 첫 冷却剤의 온도인 $800\sim 850^{\circ}\text{C}$ 의 利用에 적합하다. 뿐만 아니라 모든 反應物質의 分離가 용이하여 副產物은 周期內의 적당한 곳에 再投入이 可能하다. 그러나 水銀이 高價이며 同時に 汚染源이 될 수 있고 HBr 의 높은 腐蝕性으로 인하여 裝置의 腐蝕이 問題되고 있다. 에너지 效率은 49.3%로 되어 있으나 18%에 不過하다고 보는 학자들도 있다.

Mark 1B는 Mark 1을 補完한 것으로 第二段階의 反應을 二分하여 反應 温度를 250°C 에서 120°C 로 낮추었다. Mark 1C는 水銀代신에 Cu_2O 를 使用한 것이 特徵이며 이에 따라 酸素發生의 反應 温度가 600°C 에서 900°C 로 상승했으며 이에 따라 周期가 三段階로 줄었고 反應 温度가 약간 상승했으나 第三段階가 固體反應이라는 長點이었다.

Mark 5는 加水分解反應에 炭素化合物를 使用하는 것이 特徵이며 이에 따라 温度가 약간 低

Table 5. Halide processes

	Tempera-ture, °C		
(1) Mark 1 (Euratom)		$6\text{FeCl}_3 \rightarrow 6\text{FeCl}_2 + 3\text{Cl}_2$	420
$\text{CaBr}_2 + 2\text{H}_2\text{O} \rightarrow \text{Ca}(\text{OH})_2 + 2\text{HBr}$	730	(9) Agnes(G.E.)	
$2\text{HBr} + \text{Hg} \rightarrow \text{HgBr}_2 + \text{H}_2$	250	$3\text{FeCl}_2 + 4\text{H}_2\text{O} \rightarrow \text{Fe}_3\text{O}_4 + 6\text{HCl} + \text{H}_2$	450~750
$\text{HgBr}_2 + \text{Ca}(\text{OH})_2 \rightarrow \text{CaBr}_2 + \text{HgO} + \text{H}_2\text{O}$	200	$\text{Fe}_3\text{O}_4 + 8\text{HCl} \rightarrow 2\text{FeCl}_2 + 2\text{FeCl}_3 + 4\text{H}_2\text{O}$	100~110
$\text{HgO} \rightarrow \text{Hg} + 1/2\text{O}_2$	600	$2\text{FeCl}_3 \rightarrow 2\text{FeCl}_2 + \text{Cl}_2$	300
(2) Mark 1B(Euratom)		$\text{Cl}_2 + \text{Mg}(\text{OH})_2 \rightarrow \text{MgCl}_2 + 1/2\text{O}_2 + \text{H}_2\text{O}$	50~90
$\text{CaBr}_2 + 2\text{H}_2\text{O} \rightarrow \text{Ca}(\text{OH})_2 + 2\text{HBr}$	730	$\text{MgCl}_2 + 2\text{H}_2\text{O} \rightarrow \text{Mg}(\text{OH})_2 + 2\text{HCl}$	350
$2\text{HBr} + \text{Hg}_2\text{Br}_2 \rightarrow 2\text{HgBr}_2 + \text{H}_2$	120		
$\text{HgBr}_2 + \text{Hg} \rightarrow \text{Hg}_2\text{Br}_2$	120		
$\text{HgBr}_2 + \text{Ca}(\text{OH})_2 \rightarrow \text{CaBr}_2 + \text{HgO} + \text{H}_2\text{O}$	200		
$\text{HgO} \rightarrow \text{Hg} + 1/2\text{O}_2$	600		
(3) Mark 1C(Euratom)			
$2\text{CaBr}_2 + 4\text{H}_2\text{O} \rightarrow 2\text{Ca}(\text{OH})_2 + 4\text{HBr}$	730		
$4\text{HBr} + \text{Cu}_2\text{O} \rightarrow 2\text{CuBr}_2 + \text{H}_2\text{O} + \text{H}_2$	100		
$2\text{CuBr}_2 + 2\text{Ca}(\text{OH})_2 \rightarrow 2\text{CuO} + 2\text{CaBr}_2$			
$+ 2\text{H}_2\text{O}$	100		
$2\text{CuO} \rightarrow \text{Cu}_2\text{O} + 1/2\text{O}_2$	900		
(4) Mark 1S(Euratom)			
$\text{SrBr}_2 + \text{H}_2\text{O} \rightarrow \text{SrO} + 2\text{HBr}$	800		
$2\text{HBr} + \text{Hg} \rightarrow \text{HgBr}_2 + \text{H}_2$	200		
$\text{SrO} + \text{HgBr}_2 \rightarrow \text{SrBr}_2 + \text{Hg} + 1/2\text{O}_2$	500		
(5) Mark 5(Euratom)			
$\text{CaBr}_2 + \text{H}_2\text{O} + \text{CO}_2 \rightarrow \text{CaCO}_3 + 2\text{HBr}$	600		
$\text{CaCO}_3 \rightarrow \text{CaO} + \text{CO}_2$	900		
$2\text{HBr} + \text{Hg} \rightarrow \text{HgBr}_2 + \text{H}_2$	200		
$\text{HgBr}_2 + \text{CaO} + \text{nH}_2\text{O} \rightarrow \text{CaBr}_2(\text{aq}) + \text{HgO}$	200		
$\text{HgO} \rightarrow \text{Hg} + 1/2\text{O}_2$	600		
(6) Mark 7(Euratom)			
$6\text{FeCl}_2 + 8\text{H}_2\text{O} \rightarrow 2\text{Fe}_3\text{O}_4 + 12\text{HCl} + 2\text{H}_2$	650		
$2\text{Fe}_3\text{O}_4 + 1/2\text{O}_2 \rightarrow 3\text{Fe}_2\text{O}_3$	350		
$3\text{Fe}_2\text{O}_3 + 18\text{HCl} \rightarrow 6\text{FeCl}_3 + 9\text{H}_2\text{O}$	120		
$6\text{FeCl}_3 \rightarrow 6\text{FeCl}_2 + 3\text{Cl}_2$	420		
$3\text{H}_2\text{O} + 3\text{Cl}_2 \rightarrow 6\text{HCl} + 3/2\text{O}_2$	800		
(7) Mark 8(Euratom)			
$6\text{MnCl}_2 + 8\text{H}_2\text{O} \rightarrow 2\text{Mn}_3\text{O}_4 + 12\text{HCl} + 2\text{H}_2$	700		
$3\text{Mn}_3\text{O}_4 + 12\text{HCl} \rightarrow 6\text{MnCl}_2 + 3\text{MnO}_2 + 6\text{H}_2\text{O}$	100		
$3\text{MnO}_2 \rightarrow \text{Mn}_3\text{O}_4 + \text{O}_2$	900		
(8) Mark 9(Euratom)			
$6\text{FeCl}_2 + 8\text{H}_2\text{O} \rightarrow 2\text{Fe}_3\text{O}_4 + 12\text{HCl} + 2\text{H}_2$	650		
$2\text{Fe}_3\text{O}_4 + 3\text{Cl}_2 + 12\text{HCl} \rightarrow 6\text{FeCl}_3$			
$+ 6\text{H}_2\text{O} + \text{O}_2$	150~200		

Table 6. Reverse Deacon processes

	Tempera-ture, °C
(1) Vanadium Chloride Process (Allison Div., G.M.)	
$\text{H}_2\text{O} + \text{Cl}_2 \rightarrow 2\text{HCl} + 1/2\text{O}_2$	800
$2\text{VCl}_2 + 2\text{HCl} \rightarrow 2\text{VCl}_3 + \text{H}_2$	25
$4\text{VCl}_3 \rightarrow 2\text{VCl}_4 + 2\text{VCl}_2$	700
$2\text{VCl}_4 \rightarrow 2\text{VCl}_3 + \text{Cl}_2$	25
(2) Mark 3(Euratom)	
$\text{H}_2\text{O} + \text{Cl}_2 \rightarrow 2\text{HCl} + 1/2\text{O}_2$	800
$2\text{VOCl}_1 + 2\text{HCl} \rightarrow 2\text{VOCl}_2 + \text{H}_2$	170
$4\text{VOCl}_2 \rightarrow 2\text{VOCl}_1 + 2\text{VOCl}_3$	600
$2\text{VOCl}_3 \rightarrow 2\text{VOCl}_2 + \text{Cl}_2$	200
(3) Mark 4(Euratom)	
$\text{H}_2\text{O} + \text{Cl}_2 \rightarrow 2\text{HCl} + 1/2\text{O}_2$	800
$2\text{HCl} + \text{S} + 2\text{FeCl}_2 \rightarrow \text{H}_2\text{S} + 2\text{FeCl}_3$	100
$\text{H}_2\text{S} \rightarrow \text{H}_2 + 1/2\text{S}_2$	800
$2\text{FeCl}_3 \rightarrow 2\text{FeCl}_2 + \text{Cl}_2$	420
(4) Mark 6(Euratom)	
$\text{Cl}_2 + \text{H}_2\text{O} \rightarrow 2\text{HCl} + 1/2\text{O}_2$	800
$2\text{HCl} + 2\text{CrCl}_2 \rightarrow 2\text{CrCl}_3 + \text{H}_2$	170
$2\text{CrCl}_3 + 2\text{FeCl}_2 \rightarrow 2\text{CrCl}_2 + 2\text{FeCl}_3$	700
$2\text{FeCl}_3 \rightarrow 2\text{FeCl}_2 + \text{Cl}_2$	350

最终의 Agnes 周期는 GE에서 開發된 것으로 대체로 低溫反應이여서 太陽熱利用이 可能視되며 裝置의 腐蝕問題가 輕할 것으로 보고 있다. 이 周期의 에너지 效率은 41%로 보고되어 있다.

(2) Reverse Deacon Processes^{32~33)}

이 方法은 鹽素ガス와 물이 反應하여 鹽酸과 酸素를 만드는 反應을 原理로 하는 것으로 이의 逆反應은 Deacon 反應이라 하여 이미 오래전부터 鹽素의 工業的 生產法으로 알려져 있다. Deacon 反應은 높은 溫度에서 그 平衡이 酸素와 鹽酸쪽으로 이동하게 되므로 이에 연유하여 Reverse Deacon Process의 이름이 붙여지게 되었다. 이 系列의 反應周期도 여러 種類가 研究開發되고 있으며 그 代表的인 周期와 研究機關은 Table 6에 수록하였다.

첫번째의 Vanadium Chloride Process는 1964년에 처음으로 Funk 와 Reinstrom에 의해 제창된 것으로 가스分離를 위한 에너지 消耗量까지 포함하여 에너지效率 18%로 發表되어 있다. Vanadium chloride 이외에 같은 元素周期에 속하는 tantalum chloride 등의 대체로考慮되고 있으나 甚成果가 없는 것으로 알려졌다.

Mark 3은 De Beni에 의해 제창된 것으로 vanadium chloride 대신에 vanadium oxychloride를 使用하는 것을 特徵으로 한다. 이로 인한 利點은 oxychloride의 低親水性을 들고 있다. Mark 4는 第二段階 反應에서 S와 FeCl₃가 참여하는 것을 特徵으로 하며 Mark 6은 热力學的 계산에 기초를 둔 것으로 第二段階의 chromium chloride가 固體이므로 용융열에서 反應된다. 그외에 Mark 6을 补完한 Mark 6C의 경우에는 CuCl₂ 使用하여 FeCl₃의 直接分解의 난점은 피하고자 하였다.

Table 7. Metal Processes

	Tempera-ture, °C	
(1) Carbon-Iron Process(Euratom)		
C + H ₂ O → CO + H ₂	700	
CO + 2Fe ₃ O ₄ → C + 3Fe ₂ O ₃	250	
3Fe ₂ O ₃ → 2Fe ₃ O ₄ + 1/2O ₂		1,425
(2) Carbon Dioxide-Iron Process(IGT)		
Fe + H ₂ O → FeO + H ₂		
3FeO + H ₂ O → Fe ₃ O ₄ + H ₂		550
Fe ₃ O ₄ + CO → 3FeO + CO ₂		950
FeO + CO → Fe + CO ₂		
2CO ₂ → 2CO + O ₂		315
(3) Sulfur Dioxide-Iron Process(IGT)		
Fe ₃ O ₄ + 2H ₂ O + 3SO ₂ → 3FeSO ₄ + 2H ₂		125
3FeSO ₄ → 3/2Fe ₂ O ₃ + 3/2SO ₂ + 3/2SO ₃		725
3/2Fe ₂ O ₃ + 1/2SO ₂ → Fe ₃ O ₄ + 1/2SO ₃		925
2SO ₃ → 2SO ₂ + O ₂		925
(4) Cesium Process(Aerojet)		
2Cs + 2H ₂ O → 2CsOH + H ₂		100
2CsOH + 3/2O ₂ → H ₂ O + 2CsO ₂		500
2CsO ₂ → Cs ₂ O + 3/2O ₂		700
Cs ₂ O → 2Cs + 1/2O ₂		1,200
(5) Catherine Process(G.E.)		
3I ₂ + 6LiOH → 5Lil + LilO ₃ + 3H ₂ O		100~190
LilO ₃ + KI → KIO ₃ + Lil		0
KIO ₃ → KI + 3/2O ₂		650
6Lil + 6H ₂ O → 6HI + 6LiOH		450~600
6HI + 3Ni → 3NiI ₂ + 3H ₂		150
3NiI ₂ → 3Ni + 3I ₂		700
(6) Lithium Nitrate Process(Argonne National Lab.)		
LiNO ₂ + I ₂ + H ₂ O → LiNO ₃ + 2HI		25
2HI → H ₂ + I ₂		425
LiNO ₃ → LiNO ₂ + 1/2O ₂		425
(7) Tin Oxide Process(Gaz de France)		
Sn + 2H ₂ O → 2H ₂ + SnO ₂		400
2SnO ₂ → 2SnO + O ₂		1,700
2SnO → SnO ²⁺ + Sn		700
(8) Beulah Process(G.E.)		
2Cu + 2HCl → H ₂ + 2CuCl		100
4CuCl → 2CuCl ₂ + 2Cu		30~100
2CuCl ₂ → 2CuCl + Cl ₂		500~600
Cl ₂ + Mg(OH) ₂ → MgCl ₂ + H ₂ O + 1/2O ₂		80
MgCl ₂ + 2H ₂ O → Mg(OH) ₂ + 2HCl		350
(9) Mark 2(Euatom)		
Mn ₂ O ₃ + 4NaOH → 2NaO · MnO ₂ + H ₂ O + H ₂		800
2Na ₂ O · MnO ₂ + nH ₂ O → 4NaOH(aq) + 2MnO ₂		100
2MnO ₂ → Mn ₂ O ₃ + 1/2O ₂		600

(3) Metal Process^{33~37)}

이 方法은 원래 Steam-Iron Process에서 水素가 發生하는 현상을 이용한 것으로 Tabal 7에서 보는 바와 같이 系列의 反應週期는 非常 多樣하다.

첫 번째의 炭素—酸化鐵週期는 De Beni 와 Marchetti에 의해 제안된 것으로 反應週期가 簡單한 長點은 있으나 現在까지는 酸化鐵分解에 利用可能한 热源의 溫度範圍를 벗어나므로 이에 대한 研究는 現在 中斷되었다.

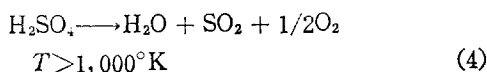
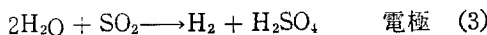
(2)의 $\text{CO}_2 - \text{Fe}$ 反應週期는 IGT(Institute of Gas Technology)에서 제창한 것으로 가장 문제로 되는 것은 CO_2 分解反應으로 이를 위한 化學用原子炉 開發이 관건이 된다.

(3)의 $\text{SO}_2 - \text{Fe}$ 反應週期도 IGT에서 發展된 것으로 長點은 있으나 비교적 높은 反應溫度(925°C)로 인하여 (4)의 Cs—反應週期(1200°C)와 더불어 현재로서는 實用化가 技術的으로 의문시 된다.

(5)의 Catherin 週期는 比較的 低溫反應이지만 反應段階가 많은것이 短點으로 지적되며 이에 비해 같은 요오드週期인 ANL(Argonne National Laboratories)의 $\text{LiNO}_2 - \text{I}_2$ 週期가 보다 높은 가능성을 갖고 있다.

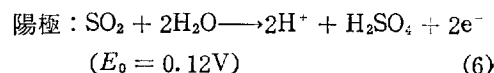
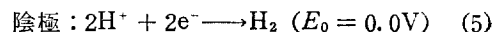
(7)의 tin oxide 週期는 簡單한 것이 특징이지만 第二段階 反應이 $1,700^{\circ}\text{C}$ 의 높은 溫度를 必要로 하므로 現在로서는 利用이 不可能하고 (8)은 五段階反應으로 $\text{Cu}, \text{Cl}_2, \text{Mg}$ 을 순환시킨다. (8)의 마지막 2段階는 Agnes 週期와 同一한 것으로 에너지 效率이 57%로 보다 높은 것으로 나와 있다.

이 以外에도 무수히 많은 方法이 제시되고 있으나 그중에서 특기할 것은 Westing House의 sulfur 週期를 들 수 있다.



이 週期의 特徵은 電解法과 热分解法을 並行하는게 있다. SO_2 는 水溶液電解槽에서 陽極의 復極作用(depolarization)을 하므로 標準電解電

壓이 0.12V로 水電解電壓 1.23V에 비해 소요 전력이 10%程度에 불과하다.



이와같이 낮은 電壓에서의 水素發生은 이 週期의 에너지 效率을 크게 높여주게 되므로 지금 까지 제시된 어느 週期보다 가장 經濟性이 높은 것으로 評價되고 있다.

이와함께 技術과 經濟的인 側面에서 可能性이 있다고 보는 것은前述한 諸週期중에서 Euratom의 Mark 9, GE의 Agnes 週期, IGT에서 새로이 제시한 週期 A-2로서 모두 $\text{Fe} - \text{Cl}_2$ 系列의 유사한 週期들이다.

5. 水素의 輸送·貯藏技術

水素의 輸送·貯藏技術은 氣體, 液體, 固體의 세 가지 方法으로 大別할 수 있다. 氣體形態로서의 水素의 輸送·貯藏技術은 既存의 氣體燃料와 關連된 技術의 延長이라 할 수 있으나 高壓水素의 경우는 金屬材料의 水素脆性에 관한 問題가 解決되어야 한다.

液化水素는 美國에서 이미 宇宙 로켓用燃料로 使用한 바 있어서 液體水素의 輸送·貯藏技術은 어느정도 發展되어 있다 하겠다. 現在 世界에서 가장 큰 液化機의 液化能力은 하루 60t程度이고 1kg當 10~14kwh의 電力이 必要하다. 따라서 現在의 液化水素는 高價일 수밖에 없으나 그 經濟性은 앞으로 에너지의 코스트와 冷凍產業의 發達形態에 따라 크게 左右될 것이다.

그러나 大量의 民生用 에너지로서는 液化水素나 高壓水素는 取扱上의 安全性問題로 인하여 不適合하여서 小規模의 輸送·貯藏도 可能한 새로운 方法이 發展되어야 한다. 이러한 面에서 固體水素는 金屬에 水素를 吸藏하였다가 必要時에 放出하여 利用할 수 있으므로 가장 기대되는 新技術이다.

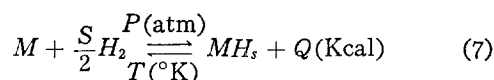
5-1. 金屬水素化物(metal hydride)³⁸⁾

大部分의 金屬은 適當한 溫度와 壓力下에서

水素와 反應하여 金屬水素化物을 만든다. 알카리와 알카리土類金屬(Mg除外)의 水素化物은 塩形水素化物(saline hydride)이라 칭하며 水素는 H^- 形態로 結合된 이온結合이어서 원래의 金屬性質이 없어진다.

이와 반대로 金屬의 性質을 그대로 維持하는 것을 金屬形水素化物(metallic hydride)이라 하며 대체로 III_a - V_{III}_a族의 遷移金屬(Eu, Y_b 제외)의 水素化物이 이에 속한다. 이 중간에 위치한 水素化物은 共有性水素化物(covalent hydride)라 하며 I_b - V_b族 金屬의 水素化物로서 沸點이 낮아 常溫에서 氣體 또는 液體形態의 化合物를 만드는 特徵이 있다.

金屬(M)의 水素化反應은一般的으로 溫度(T)와 水素가스壓(P)에 左右된다.



이反應의 進行은 Fig. 14에 나타낸 바와 같아 一定한 溫度에서 가스壓과 組成의 等溫線 관계를 이루므로 水素는 먼저 金屬에 溶解되는 상

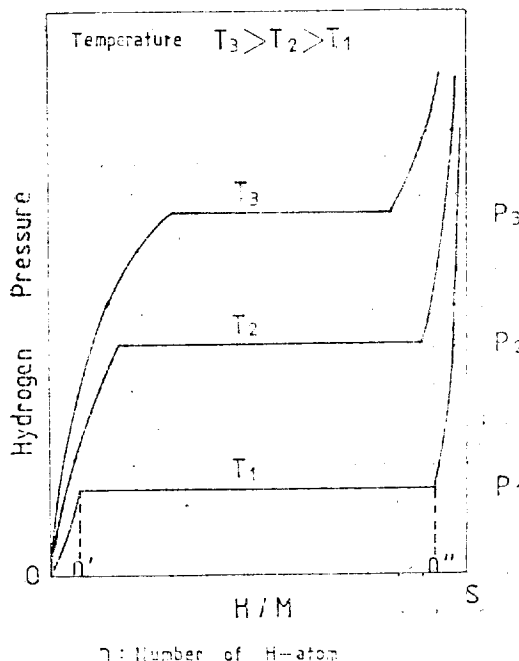


Fig. 14. Pressure-composition isotherms for metal-hydrogen system⁶²⁾

태를 이룬다($\sigma - n'$ 範圍). 이 固體溶液(MHn')이 水素로 飽和되면 非化學量的(nonstoichiometric) 水素化物(MHn'')을 形成하기 시작하며 이 때에는 水素의 平衡壓이 一定한 상태를 유지하게 된다($n' - n''$ 레위). 이範圍를 지나서는 水素壓이 다시 增加하게 되며 水素化物의 組成은 化學量的化合物(stoichiometric compound), MH_s 에 가깝게 된다. 경우에 따라서는 水素壓의 제2의 水平範圍가 나타나기도 하지만 이것은 水素化物의 또 다른 相이 있음을 보여주는 것으로 상세한 記述은 여기서는 피하겠다.

金屬水素化物 MH_s 의 分解時의 enthalpy ΔH_d° 는一般的으로 다음과 같은 관계식으로 표시된다.

$$\ln P_{H_2}(\text{atm}) = \frac{2}{S} \frac{\Delta H_d^\circ}{RT} + C \quad (8)$$

여기서 R 은 氣體常數, C 는 積分常數를 각각 나타낸다. 이式에서 水素壓 $\ln P_{H_2}$ 와 온도 T^{-1} 과 正比例 관계에 있으므로 그 比例常數가 곧 ΔH_d° 가 된다. 이式을 유도함에 있어서 $n' \approx 0$,

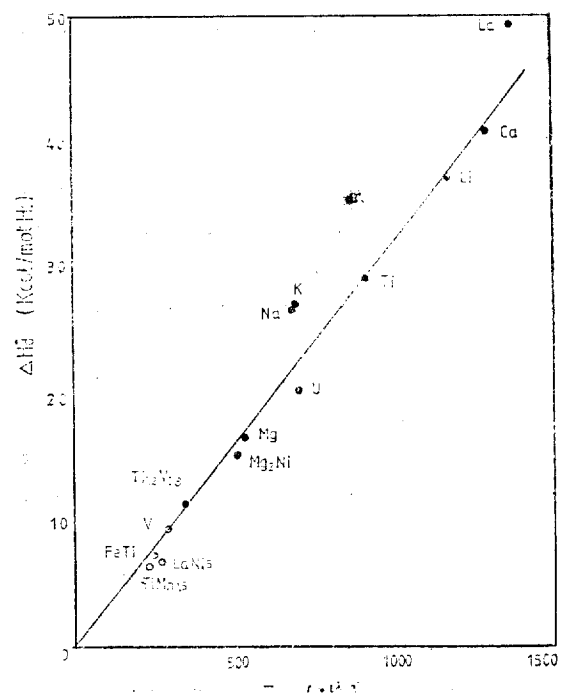


Fig. 15. 分解反應의 enthalphy變化와 平衡分解壓과의 關係³⁹⁾

Table 8. Enthalpies of decomposition

金屬一金屬水素化物	ΔH_d°		
	kcal/mol·H ₂	kcal/g·metal	kcal/cc·metal
Li-LiH	37.6	2.71	1.44
Na-NaH	27.0	0.58	0.56
K-KH	27.6	0.35	0.30
Mg-MgH ₂	17.8	0.73	1.27
Ca-CaH ₂	41.7	1.04	1.61
Sr-SrH ₂	42.3	0.48	1.25
Ba-BaH ₂	40.9	0.30	1.05
La-LaH ₂	~50	~0.36	~2.2
La-LaH _{2.76}	40.1	0.40	2.46
U-UH ₃	20.4	0.09	1.62
Th-ThH ₂	~35	~0.15	~1.7
Zr	29.6	0.62	2.79
Ti-TiH ₂	38.9	0.43	2.75
VH _{0.95} -VH _{2.0}	9.6	0.10	0.60
Pd-PdH _{0.56}	8.9	0.023	0.276
FeTiH _{0.1} -FeTiH _{1.95}	~7.5	~0.07	~0.4
Mg ₂ NiH _{0.3} -Mg ₂ NiH _{4.2}	15.4	0.28	1.2
LaNi ₅ -LaNi ₅ H ₆	~7	~0.048	~0.41
TiMn _{1.5} H _{0.5} -TiMn _{1.5} H _{2.47}	6.8	0.052	
Ti _{0.2} V _{0.5} H _{0.5} -Ti _{0.2} V _{0.8} H _{1.6}	11.5	0.091	
TiCo-TiCoH _{1.4}	13.8	0.09	
TiCo _{0.5} Mn _{0.5} -TiCo _{0.5} Mn _{0.5} H _{1.7}	11.2	0.09	

$n'' \approx s$, 그리고 ΔH_d° 가 溫度變化에 무관함을 條件으로 하고 있으나 大部分의 金屬水素化物은 이 관계식을 따르고 있음이 實驗으로 證明되고 있다.

Table 8 은 各種 金屬水素化物의 ΔH_d° 를 수록하였다. 알카리土類, 稀土類金屬과 같이 比較的 이온結合性이 강한 水素化物의 ΔH_d° 는 대체로 큰 반면에 鐵族에 속하는 金屬結合性水素化物은 일반적으로 작다. 또 Fig. 15는 各種 金屬水素化物의 T_1 과 ΔH_d° 의 관계를 나타내고 있는데 大部分의 水素化物이一直線上에 놓여 있다.³⁹⁾ 이 直線의 式은 대략 $\Delta H_d^\circ \approx 32T_1$ 이다.⁴⁰⁾

5-2. 金屬水素化物의 利用⁴¹⁾

金屬水素化物을 實際에 能力의 貯藏手段으로 利用하기 위해서는 경우에 따라 다르지만 대체

로 다음과 같은 몇 가지 條件이 充足되어야 한다. 첫째, 結合・分解反應이 容易하여야 한다. ZrH₂ 와 TiH₂ 와 같이 热力學的으로 安定된 化合物은 比較的 低溫($\leq 300^\circ\text{C}$)에서 分解되지 않으므로一般的으로 利用可能性이 높지 못하다 하겠다. 둘째로 水素化物과 에너지變換機 간의 溫度-壓力 關係가 相互 適正範圍內에 있어야 한다. 實際로 水素化物의 分解에는 水素燃燒機에서 排出되는 廢熱을 利用하는 것이合理的이므로 水素化物과 燃燒機 사이의 溫度-壓力特性이 重要하다. 예를들면 MgH₂ 는 内燃機關의 水素共給源으로는 適合하겠으나 廢熱이 15°C 程度에 불과한 燃料電池에는 使用이 어렵고 이와 반대로 FeTiH_x 와 같이 比較的 不安定한 水素化物은 内燃機關보다는 燃料電池의 水素共給源으로適合하다 하겠다.

이외의 條件으로는 費用, 安全性, 反應速度,

Table 9. Comparison of bydrogen storage media⁴¹⁾

Medium	Maximum Effective H Storage Capacity by wt% by vol, g/ml		Energy Density of Combustion a (higher) cal/g	Heat of cal/ml of vol
MgH ₂ ^b	7.0	0.101	2,373	3,423
Mg ₂ NiH ₄	3.16	0.081	1,071	2,745
VH ₂	2.07		701	
FeTiH _{1.95}	1.75	0.096	593	3,245
TiFe _{0.7} Mn _{0.2} H _{1.9}	1.72	~0.09	583	~3,050
LaNi ₅ H _{7.0}	1.37	~0.089	464	~3,051
R.E.Ni _{6.5} ^c	1.35	~0.09	458	~3,050
Liquid H ₂	100	0.07	33,900	2,373
Gaseous H ₂ (100atm. press)	100	0.007	33,900	244
N-Octane			11,400	8,020

a. Refers to H only in metal hydrides.
b. starting alloy 94% Mg 6% Ni.
c. R.E. refers to mischmetal, a commercial rare earth alloy.

Table 10. Energy density Comparison automotive power sources actual and proposed⁴¹⁾

Power Source	Energy Density whr/kg	Conversion Efficiency %	Net whr/kg	Ref.
Pb/acid Battery				
Present	30	70	21.0	27
Advanced	50	70	35.0	27
Li/MS Battery	150	70	105	27
FeTiH _{1.7} ^{a,b}	516 ^c	30	154	
Mg ₂ NiH ₄ ^{a,b}	1,121 ^c	30	336	
MgH ₂ (10% Ni) ^{a,b}	2,555 ^c	30	767	
Gasoline ^a	12,880 ^c	23	2,962	

a. No allowance for container weight.
b. Based on available hydrogen
i.e., FeTiH_{1.7}→FeTiH_{0.1}
Mg₂NiH₄→Mg₂NiH_{0.3}
MgH₂ →MgH_{0.05}
c. Based on lower heat of combustion

可逆性, 무게, 化學的 및 物理的 安定性 等을 들 수 있겠으나 上述한 바와 같아 그 用途에 따라 다르지 되므로 그 重要性은 相對的인 것이라 하겠다. 예를들면 單純한 水素貯藏用으로는 水素化物의 무게가 별로 重要하지 않으나 自動車用 動力源으로서는 큰 問題가 된다.

現在 開發된 金屬水素化物 中에서 技術의 으로 利用可能性이 높을 것으로 기대되는 몇몇의 水素貯藏能力과 에너지 密度를 Table 9에 比較 수록하였다.

(1) 自動車用 金屬水素化物^{42~44)}

自動車用 水素共給源으로서는 MgH_2 와 $FeTiH_x$ 가 가장 有望한 것으로 알려져 있다. MgH_2 는 Table 9에서 나타낸 바와 같이 單位重量當水素含有率(7wt.%)이 그 어떤 金屬水素化物보다 가장 높은 長點이 있으나 水素分解溫度가 300°C 以上으로 比較的 높은 것이 問題가 되어 있다. 反面에 $FeTiH_x$ 는 常溫에서 水素分解壓이 1atm 以上이고 ΔH_f° 도 낮아서 自動車用으로 가장 適合하지만 水素含有率(1.75wt.%)이 낮은것이 큰 흠이다. 그러나 Table 10에서 보는 바와같이 $FeTiH_x$ 도 기존의 여러 에너지源에 比하여 에너지密度가 낮은 것은 아니어서 美國의 Billings Energy Corp이나 西獨의 Daimler Benz 社에서는 $FeTiH_x$ 를 水素燃料의 貯藏手段으로 使用하여 水素를 燃料로 하는 中·小型 버스를 製作하여 試驗中에 있다.

(2) 平均負荷(Load Leveling)^{45~47)}

金屬水素化物을 利用한 電力→電解水素→輸送·貯藏→變換에 의한 電力의 貯藏方法은 發電所의 負荷調整手段으로 관심을 모으고 있다. 이에 대한 全工程은 이미 美國의 PSE & G(Public Service Electric & Gas Co.)에서 그 利用可能性을 實証한 바 있으며 이 工程의 flow diagram 은 Fig. 16에 나타낸 바와 같다. 이 方法에 의하면 off-peak 電力에 의한 電解水素를 5~35atm 으로 貯藏하여 $FeTiH_x$ 에 貯藏하였다가 on-peak

에 分解水素를 燃料電池에 의하여 電氣로 다시 變換한다는 것이다. 水素貯藏에 使用한 $FeTi$ 의 총 무게는 400kg, 水素貯藏能力은 6.4kg H_2 였으며 하루에 한 번씩 貯藏一分解의 周期가 되도록 設計되었다. 그러나前述한 바와같이 $FeTiH_x$ 는 低溫에서 分解되므로($\sim 45^\circ C$) 燃料電池에서 排出되는 160°C의 높은 溫度가 廢熱로 放出되는 短點이 있다. 이 廢熱을 利用하기 위하여 $FeTi$ 대신에 보다 安定性이 높은 $TiFe_{0.7}Mn_{0.2}$ 를 開發利用하여 용량 26MW의 負荷調整 시스템을 건설 계획중에 있다. 兩 시스템의 性能을 Table 11에 比較하였다.

이 밖에도 金屬水素化物은 蓄熱,^{48,49)} 蒸餾器,^{50,51)} 또는 水素壓縮機 等^{52,54)} 많은 利用方法이 提案되었고 또 實驗中에 있다.

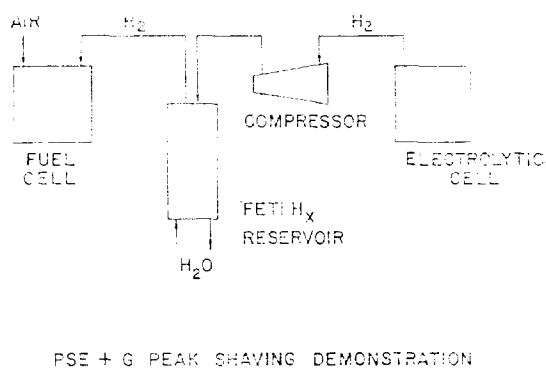


Fig. 16. Flow diagram of peak sharing demonstration plant built by Public Service Electric and Gas Corp⁴³⁾

Table 11. Comparison of ferro-titanium alloy storage systems⁴¹⁾

	Full Scale Plant		
	PSE & G Demonstration	Current Design	Advanced Design
Alloy	$FeTi$	$FeTi$	$TiFe_{0.7}Mn_{0.2}$
wt% Hydrogen Stored	1.57	1.15	1.60
Charging Press. atm.	35	30	10
Discharge Press. atm	2	2	2
Hot Fluid Temp. °C	45	160	160
Cold Fluid Temp. °C	17	30	30

6. 世界主要國家의 水素에너지 開發現況^{55~62)}

유럽에서의 水素問題研究는 주로 Ispra(Italy)의 JRC(Joint Research Centre)에서 관리하며 그 財政的 支援은 EEC를 通하여 받는다. JRC의 主研究分野는 熱化學的 水素生產法이며 最近에는 HBr의 電解와 H_2SO_4 의 热分解를 通한 水素·酸素 生產의 閉周期(Mark 13)를 開發하였다.

西獨에서도 熱化學法을 研究하고 있으나 主로 原子炉의 高溫을 利用하는 方法이며 Lurgi社는 水電解槽, Daimler-Benz社는 水素自動車 開發에 각각 주력하고 있다. 특히 最近에는 美國의 DOE(Department of Energy)와 西獨의 BMFT(Bundes Ministerium der Forschung und Technologie)의 水素에너지에 關한 共同研究計劃을 마련하고 있다.

이태리와 스위스에서도 De. Nora Corp.과 Brown Boveri社를 中心으로하여 알카리電解槽를 開發하여 政府支援에 의한 研究도 수행하고 있다.

불란서에서는 가까운 장래에 水素를 工業的으로 利用할 計劃下에 電解槽의 開發은 물론 水素輸送用 pipeline建設과 大單位 地下貯藏을 위한 建設計劃을 마련하고 있다.

화란에서는 LaNi₅와 같은 稀土類金屬 水素化物을 처음으로 開發하였고 IEA(International Energy Agency)와 電解水素에 關해서도 共同研究를 수행중에 있다.

日本에서는 1974년 "Sunshine Project"를 마련하고 廣大한 分野에 걸쳐 水素에너지 시스템이 研究中에 있다. 특히 太陽에너지 利用한 水素生產에 力點을 두고 있으며 最近에는 半導體電極을 使用한 물의 光電解可能性을 제시하여 世界의 主目을 끈 바도 있다. 그밖에 太陽의 热에너지와 光에너지의 同時에 利用하는 複合方法도 새로이 開發되었다.

카나다에서는 政府와 Noranda Corp. 그리고 美國의 Electrolyzer Corp.과 共同으로 풍부한

水力資源을 利用하여 電解水素를 生產하여 美國에 販賣할 計劃이 세워져 있다.

브라질에서도 아마존강의 풍부한 水力資源을 水素生產에 利用할 計劃이며 GCR(Gas Company of Rio)에서 현재 共給하는 都市가스中 50%에 해당하는 水素를 電解水素로 대체할 計劃이다. 이 計劃을 위하여 美國의 DOE와 브라질政府間의 對話가 진행되고 있다.

美國에서는 水素에너지 研究가 1970년부터 本格化하였다 할 수 있으며 大部分 DOE의 財政的 支援을 받고 있다. 水素에너지 研究를 하는 主要 產業體는 PSE & G를 비롯하여 Northeast Utilities, Niagara Mohawk Power Corp., Southern California Edison Co., Americam Gas Ass. 등을 들 수 있으며 水素의 輸送貯藏, 電解槽, pipeline, hydride bed, 热料電池 等 廣範한 研究가 진행되며 EPRI(Electric Power Research Institute)에서는 發電所의 負荷調整을 위한 水素에너지 시스템을 主로 하여 研究한 바 있다.

Table 12에서는 世界主要國의 水素에너지 研究機關과 產業體를 열거하였다.

Table 12. 世界主要國의 水素에너지 研究機關과 產業體

研究開發項目	研究機關 및 產業體	國名
1. 製造技術		
(1) 電氣分解(KOH)	Brookhaven National Lab. Teledyne Energy Systems Inc. Pintach-Bamag CJB Developments Ltd. De Nora Corp. Brown Boveri AB Atomenergi Electrolyser Corp. of Canada Ltd. Noranda Corp. Agency of Ind. Sci. & Tech.	U.S.A. " Germany U.K. Italy Switzerl. Sweden Canada " Japan
(固體樹旨)	General Electric Co. Studiecentrum Voor Kernenergie.	U.S.A. Belgium

(固體酸物)	CJB Developments Ltd.	U.K.	NASA	"
	De Nora Impianti	Italy	NBS	"
	Westinghouse Electric Co.	U.S.A.	Lockheed Missiles & Space Co.	"
	Brookhaven National Lab.	"	Union Carbide Corp.	"
	Dornier System Gmbtl	Germany	United Aircraft Res. Lab.	"
	Lurgi Gmbtl	"	Philips Research Lab.	Netherland
	JRC (Ispra)	Italy	Daimler-Benz. A.G.	Germany
(2) 熱化學法	Gaz de France	France	Brookhaven National Lab.	U.S.A.
	Kernforschung Gmbtl, Karlsruhe	Germany	Sandia Laboratories	"
	Tech Univ. Aachen	"	東工試	Japan
	Los Alamos Scientific Lab.	U.S.A.	大工試	"
	General Atomic Co.	"	Battelle, Geneve	Switzerland
	EPRI	"		
	Institute of Gas Technology	"		
(3) 電解一熱化學	Lawrence Livermore Lab.	U.S.A.	3. 利用技術	
	Argonne National Lab.	"	(1) 平均負荷	PSE & G Co.
	Oak Ridge National Lab.	"		Niagara Mohawk Power Co.
	General Motors Corp.	"		SJT Consultants Ltd.
	Sulphur Development Inst.	Canada		Central Electricity Generating
	Chem. Ind. Research Inst.	Japan	(2) 自動車	GM Corp.
	Hitachi Ltd.	"		Ford Motors Co.
(4) 熱化學一光化學	AIST	"		Chrysler Corp.
	Mitsubishi Heavy Ind. Ltd.	"		Billings Energy Res. Corp.
	其他 熱化學法 本文 參照			Daimler-Benz AG.
	Westinghouse Electric Corp.	U.S.A.		自動車研究所
	Los Alamos Sci. Lab.	"		Engelhard Industries
	Kernforschungsanlage, Jülich	Germany	(3) 燃料電池	Energy Research Corp.
	Yokohama National Univ,	Japan		G.E. Co.
(5) 光電解法	Allied Chemical Corp.	U.S.A.		NASA
	Lincoln Lab(MIT)	"		United Aircraft Corp.
	Brown Univ.	"		大工試
	New Mexico State Univ.	"		電總研
	University of Tokyo	Japan		電氣工業會
	KIST	Korea	4. 保安技術	NASA
	Lawrence Berkeley Lab.	U.S.A.		NBS
(6) 光合成法	General Atomic Co.	U.S.A.		Air Products and Chemicals Inc.
	Electrotechnical Lab.	Japan		Lawrence Berkeley Lab.
	Air Products and Chemicals, Inc.	"		Los Alamos Sci. Lab.
	Aircos Industrial Gases			Brookhaven National Lab.
				Lab.
			5. 水素氫	東工試
			너지 시스템	NASA
2. 輸送貯藏技術 (液化水素)			스웨덴	GE Co.
				IGT
				電總研

表에 기재된 研究機關 이외에도 무수히 많으나 紙面關係로 省略하였고 특히 水素利用技術 中에서 燃燒, 엔진, 터빈, 材料, 化工原料 等 分野에 관한 技術現況과 研究機關도 省略했음을 말해둔다.

7. 結 語

以上과 같이 水素에너지 시스템에 있어서 水素의 製造法과 輸送·貯藏·利用技術 等을 중심으로 考察하여 보았으나 그 規模가 원래 巨大한 것이어서 全般的인 記述은 不可能하였다. 특히 水素의 利用技術中에서 燃燒, 엔진, 터빈, 航空·宇宙用 로켓트, 燃料電池, 材料 等 諸分野에 관한 技術現況은 省略하였다.

將來의 本格的인 水素經濟의 到來는 化石類에너지의 需給事情과 그 밖에 여러 要因에 關係되겠지만 대체로 1990年代부터 部分的으로 始作하여 西紀 2000年初부터 本格化할 것으로 내다보고 있다. 그러나 무엇보다 原子力利用技術이나 新能源等 一次能源의 開發이 先行되어야 하며 이와 함께 새로운 Energy Total System에 관한 綜合的 研究도 並行되어야 한다. 특히 우리나라와 같은 에너지 貧國에서는 長期的 眼目에서의 水素에너지政策의 早期樹立과 이를 위한 開發研究에 積極的 支援이 必要하며 에너지 關連事業體의 繁密한 協助도 아울러 要求된다.

참고 문헌

27. R.N. Quade and A.T. McMain, "Hydrogen Production with a High-Temperature, Gas Cooled Reactor(HTGR), in Hydrogen Energy, Veziroglu, T.N., Ed., 137~54, New York, Plenum Press, 1975.
28. J.B. Pangborn and D.P. Gregory, "Nuclear Energy Requirements for Hydrogen Production from Water," paper presented at the Ninth IECEC., San Francisco, Aug. 1974.
29. G. De Beni and C. Marchetti, "Mark 1, a Chemical Process to Decompose Water Using Nuclear Heat," Symposium on Non-fossil Chemical Fuels, ACS 163rd National Meeting, Boston, Massachusetts, April 10 ~14, 1972.
30. "Hydrogen Production from Water Using Nuclear Heat," Report No. 3, EURIC-IS/35/73e.
31. R.H. Wentorf and R.E. Hanneman, "Thermochemical Hydrogen Generation," GE Co. Corporate Research and Development Report No. 73CRD222, July 1973.
32. J.E. Funk and R.M. Reinstrom, "System Study of Hydrogen Generation by Thermal Energy," Vol. 2, Supplement A, of Energy Depot. Electrolysis Systems Study, Final Report TID 20441, Allison Division of GM Report EDR 3714, U.S. Atomic Energy Commission, Washington D.C., June 1964.
33. G. DeBeni and Marchetti, "Hydrogen, Key to the Energy Market," Euro Spectra, Vol. 9, No. 2, p. 46~50, June 1970.
34. C.G. Von Fredersdorf, Conceptual Process for Hydrogen and Oxygen Production from Nuclear Decomposition of Carbon Dioxide," memorandum to Project 5~128, Sponsors' Committee, IGT, Chicago, Illinois, Oct. 30, 1959.
35. A.R. Miller and H. Jaffe, "Process for Producing Hydrogen from Water Using an Alkali Metal," U.S. Patent 3,490,871, January 20, 1970.
36. B.M. Abraham and Schreiner, "A Low Temperature Thermal Process for the Decomposition of Water," Science, 180, 959 (1973).
37. D. Souriau, "Utilization of the Heat Energy of Nuclear Reactors," German Patent 2,221,509, November 16, 1972.
38. A.J. Maeland, "Survey of the Different Types of Hydrides," in Hydrides for Energy Storage, Ed. by A.F. Andersen and A.J. Maeland, Proceedings of an International Symposium, held in Geilo, Norway, 14~19 August 1977, 9, 19.
39. 総合エネルギー構座, エネルギー變換懇話會編 Vol. 4. エネルギー蓄積·輸送工學オーム社 1980. p. 180.

40. 小野, 大開: セラミックス, 14, 4. p. 339. (昭 54).
41. J.J. Reilly, "Applications of Metal Hydrides," in *Hydrides for Energy Storage*, Ed. by A.F. Andersen and A.J. Maeland, Proceedings of an International Symposium held in Geilo, Norway, 14~19, August 1977. p. 527.
42. K. Hoffman, W.E. Winsche, R.H. Wiswall, J.J. Reilly, T.V. Sheehan and C.H. Waide, "Metal Hydrides as a Source of Fuel for Vehicular Propulsion," Int. Automotive Eng. Congress, Detroit, S.A.E. 690232. (1969).
43. J.J. Reilly, K.C. Hoffman, G. Strickland, R.H. Wiswall, "Iron Titanium Hydride as a Source of Hydrogen Fuel for Stationary and Automotive Applications, 26th Annual Proceedings Power Sources Conf., Atlantic City, New Jersey (1974).
44. R.L. Wooley and H.M. Simons, "Hydrogen Storage in Vehicles-an Operational Comparison of Alternative Prototypes," Fuels and Lubricants Meeting, St. Louis, Missouri, S.A.F. 76050, (June 1976).
45. J.M. Burger, P.A. Lewis, R.J. Isler, F.J. Salzano and J.M. King, Energy Storage for Utilities via Hydrogen Systems," Proceedings 9th Intersociety Energy Conversion Eng. Conf., San Francisco, Calif. (August 1974).
46. A. Beaufre, F.J. Salzano, R. Isler, and W.Yu, Hydrogen Storage via FeTi for a 26MW Peaking Electric Plant," Proceedings 1st World Hydrogen Energy, Conf., Miami Beach Fla., Univ. of Miami (March 1976).
47. J.J. Reilly and J. Johnson, "Titanium Alloy Hydrides and Their Applications," ibid.
48. W. Winsche, Intermittent Power Source, U.S. Patent 3,504,494 (April 7, 1970).
49. G.G. Libowitz, "Metal Hydrides for Thermal Energy Storage," Proceedings 9th Intersociety Conversion Energy Conf., San Francisco, Calif. (August 1974).
50. D.M. Gruen, R.L. McBeth, M. Mendelsohn, J.M. Nixon, F. Schreiner, and I. Sheft, Hycos: A Solar Heating, Cooling and Energy Conversion System Based on Metal Hydrides, Proceedings 11th Intersociety Energy Conversion Eng. Conf., stateline, Nevada (1976).
51. G.G. Libowitz and Z. Blank, An Evaluation of the Use of Metal Hydrides for Solar Thermal Energy Storage," ibid.
52. J.J. Reilly, A. Holtz and R.H. Wiswall, Jr., "A New Laboratory Pump for Intermediate Pressures, Rev. Sci. Instrum. 42, 10, 1495(1971).
53. H.H. Van Mal. "A LaNi₅ Hydride Thermal Compressor, Int. Symp. on Hydride for Energy Storage, Geilo, Norway(1977).
54. J.R. Dowell, F.J. Salzano, Wen-Shi Yu, J.S. Milau, "A High Efficiency Power Cycle Using Metal Hydride Compressors USERDA Report B.N. 250447, Brookhaven National Laboratory, Upton, New York (1975).
55. F.J. Salzano, A. Mezzina, M. Beller, G. Strickland and S. Srinivasan, "Hydrogen Technology: AN Overview," BNL 25760, ibid (1979).
56. P.M. Kohn, "Processes Hydrogen New for High Fly Hopes," Chemical Eng. March 14, 1977, p. 86.
57. N.P. Chopey, "Tomorrow's Hydrogen Economy: Still Needing Its Big Push," Chem. Eng. April 26, 1976, p. 51.
58. D.P. Gregory, "Energy Topics: A Periodic Supplement to IGT Highlights December 20, 1976.
59. D.A. Mathis, "Hydrogen Technology for Energy," Energy Technology Review No. 9, Noyes Data Corp. Park Ridge, New Jersey, 1976.
60. M.S. Casper, "Hydrogen Manufacture by Electrolysis Thermal Decomposition and Unusual Techniques," Chemical Technology Review No. 102, Energ Technology Revew No. 21, Noyes Data, Corp., Park Ridge, New Jersey, 1978.
61. J. O'M Bockris, "Energy The Solar-Hydrogen Alternative, The Architectural Presss,

- Condon 1976.
62. 新エネルギー技術研究開発計画(サンシャイン計画), 財團法人 日本産業技術振興協会, 昭和 49年.
63. D.P. Gregory, D.Y.C. Ng & G.M. Long in *The Electrochemistry of Cleaner Environments*, ed. J. O'M Bockris, Plenum Press, New York, 1972.